

Расчет вероятностей гипотез описания событий гравитационного линзирования на основе ПЧД

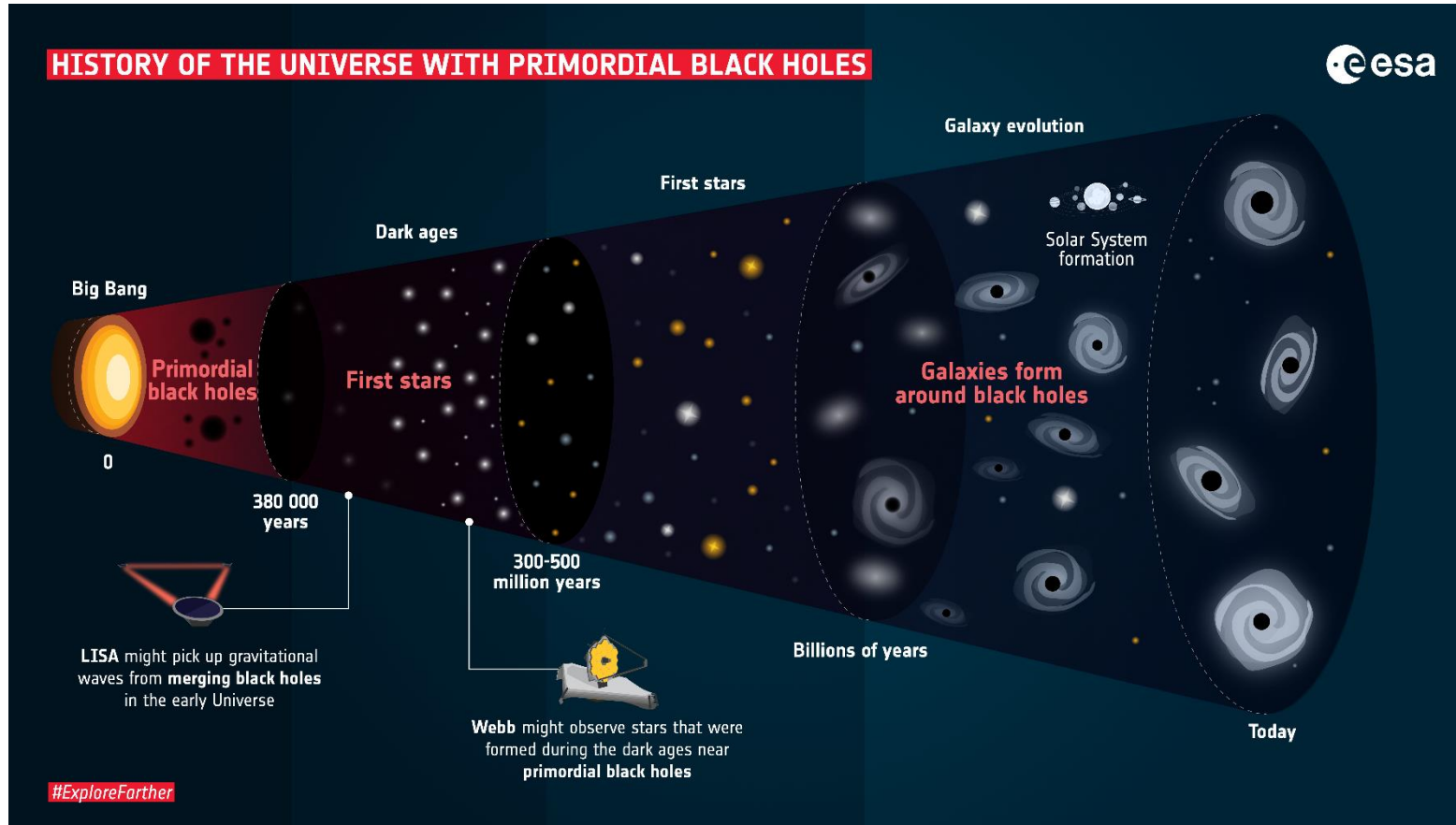
Мучкинова Б.Ю.

Научный руководитель: Белоцкий К.М

30.01.2026

Введение

Первичные черные дыры

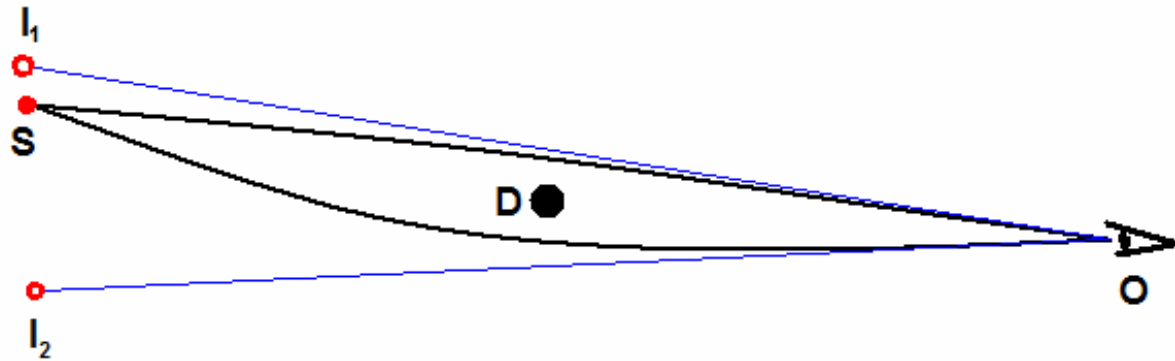


ПЧД могут объяснить:

1. природу скрытой массы;
2. происхождение ранних квазаров, $Z = 10$;
3. данные LIGO/Virgo/KAGRO.

Введение

Гравитационное микролинзование



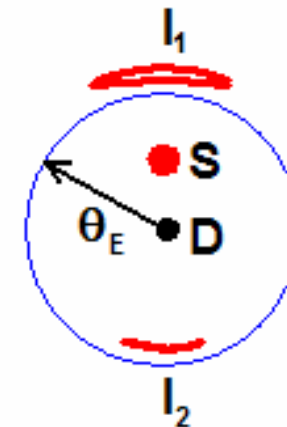
$$\theta_E^2 = \frac{4GM_D}{c^2} \frac{l_{SD}}{l_{DO}l_{SO}} = 2r_{gD} \left(\frac{1}{l_{DO}} - \frac{1}{l_{SO}} \right)$$

угол Хвольсона-Эйнштейна

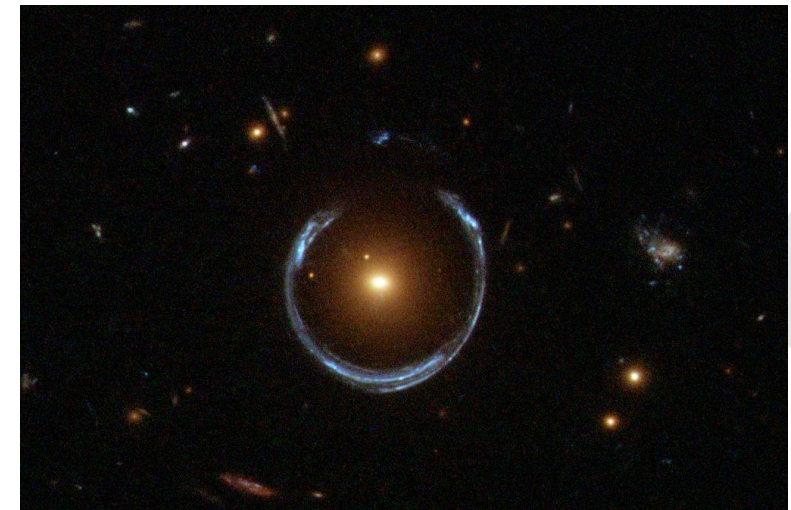
$$\mu = \frac{\theta_I d\theta_I}{\theta_S d\theta_S} = \frac{1}{2} \left(\frac{\Delta\theta}{\theta_S} + \frac{\theta_S}{\Delta\theta} \right)$$

усиление интенсивности

$$\Delta\theta = \sqrt{\theta_S^2 + 4\theta_E^2}$$



круг Хвольсона-Эйнштейна (конус)



Гипотезы

Гипотеза Н1: Кластеры ПЧД, массы которых одинаковы

$$\psi_{H_1}(M) = \delta(M - M_{\text{РВН}}), \quad M_{\text{РВН}} = 1 M_\odot$$

Гипотеза Н2: Одиночные ПЧД с массовым (логнормальным) распределением

$$\psi_{H_2}(M) = \frac{1}{\mathcal{N}} \frac{1}{M \sigma_{\ln} \sqrt{2\pi}} \exp \left[-\frac{(\ln(M/M_\odot) - \mu_{\ln})^2}{2\sigma_{\ln}^2} \right]$$

Гипотеза Н3: Смешанная (кластеры + одиночные ПЧД)

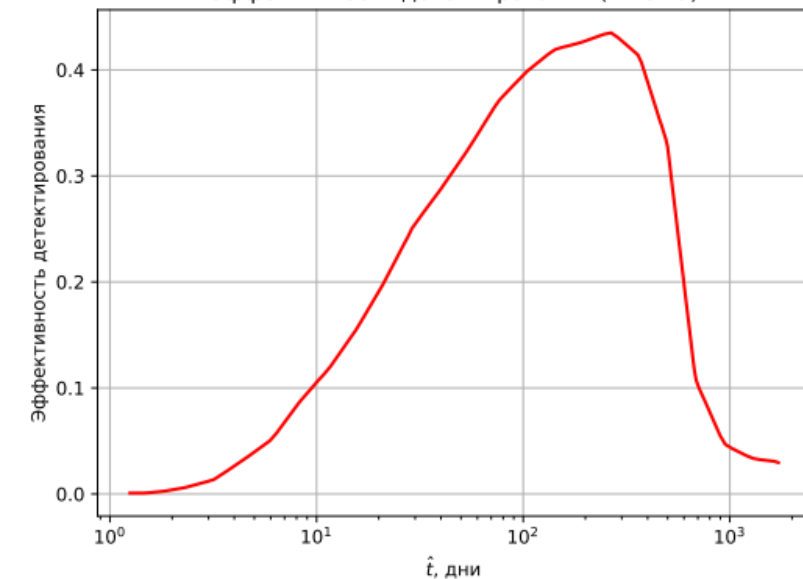
$$\psi_{H_3}(M) = f_{\text{cl}} \delta(M - M_0) + (1 - f_{\text{cl}}) \psi_{H_2}(M), \quad M_0 = 1 M_\odot$$

Все гипотезы используют профиль NFW: $\rho_{\text{NFW}}(R) = \frac{\rho_0}{(R/R_c)[1+R/R_c]^2}$

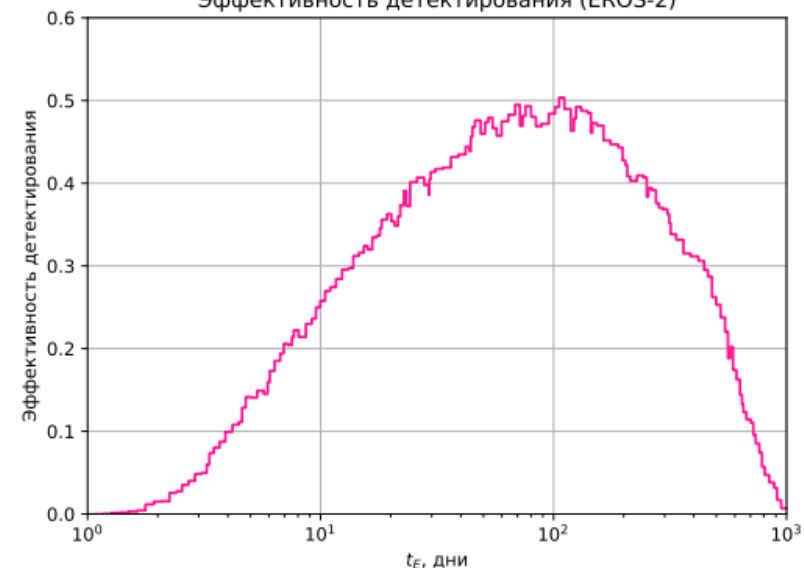
Эффективность детектирования



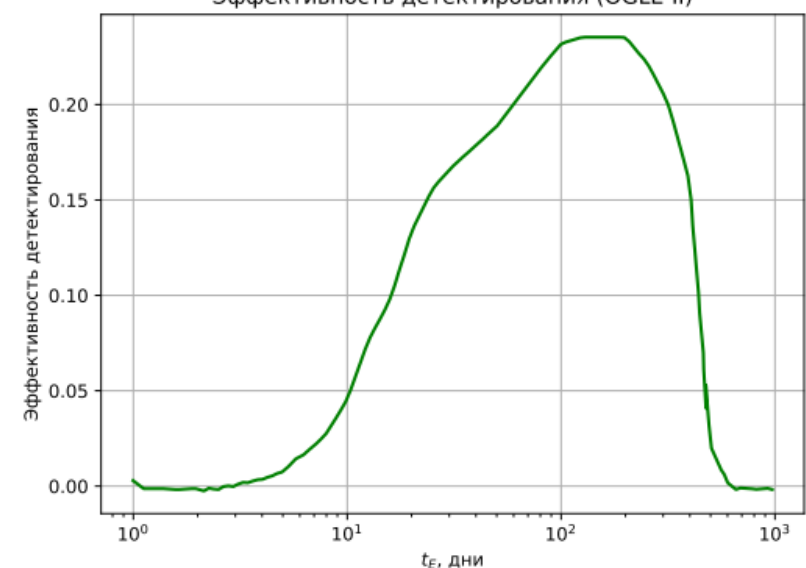
Эффективность детектирования (МАСНО)



Эффективность детектирования (EROS-2)



Эффективность детектирования (OGLE-II)



Характеристики обзоров и событий

Таблица 1: Основные параметры экспериментов микролинзирования.

Эксперимент	N_* (звёзд)	T_{obs} (лет)	Область	Частота съёмки
MACHO	1.1×10^7	7.5	LMC	1–2 дня $^{-1}$
EROS-2	3.3×10^7	6.7	LMC, SMC	2–3 дня $^{-1}$
OGLE-II	1.2×10^7	4.0	LMC, SMC	1 день $^{-1}$

Таблица 2: Длительности зарегистрированных событий микролинзирования t_E (дни).

Эксперимент	Количество событий N_{ev}	t_E (дни)
MACHO	17	34.4, 34.2, 45.4, 75.6, 91.6, 102.9, 43.9, 66.4, 100.1, 36.8, 74.2, 72.7, 93.2, 229.3, 85.2, 85.2
EROS-2	0	—
OGLE-II	1	89.7

Дифференциальная частота



$$\frac{d\Gamma_H}{dt_E}(t_E) = \int_0^{D_S} dD_L \int dM \, n_{\text{lens}}^{(H)}(D_L, M) \, \mathcal{K}(D_L, M, t_E) \, \psi_H(M)$$

$n_{\text{lens}}^{(H)}$ – число линз

\mathcal{K} – кинетика/геометрия

ψ_H – массовое распределение гипотезы

Видимая дифференциальная скорость

Введем видимую (с учетом эффективности детектирования) дифференциальную скорость

$$\Gamma_{j,H}^{\text{vis}} = \int \varepsilon_j(t_E) \frac{d\Gamma_H}{dt_E}(t_E) dt_E$$

Нормировка:

$$\phi_H(t_E) = \frac{1}{C_H} \frac{d\Gamma_H}{dt_E}(t_E), \quad C_H = \int \frac{d\Gamma_H}{dt_E}(t_E) dt_E,$$

Тогда

$$\Gamma_{j,H}^{\text{vis}} = C_H A_{j,H}, \quad A_{j,H} = \int \varepsilon_j(t_E) \phi_H(t_E) dt_E$$

Функции предельного правдоподобия

λ_j — истинная (но неизвестная) нормировка видимой скорости событий в обзоре j
Тогда функция предельного правдоподобия для количества событий

$$Z_{j,H}^{\text{count}} = P(N_j \mid H) = \int_0^\infty P(N_j \mid \lambda_j, H) p(\lambda_j) d\lambda_j$$

Учитывая распределение по длительности событий, получим функцию предельного правдоподобия для длительности событий

$$L_{j,H}^{\text{shape}} = \prod_{i \in D_j} \frac{\varepsilon_j(t_{E,i}) \phi_H(t_{E,i})}{A_{j,H}}$$

Результаты



Итоговая обоснованность (evidence):

$$Z_H = P(D | H) = \prod_j Z_{j,H}^{\text{count}} L_{j,H}^{\text{shape}}.$$

При равных априорных вероятностях $P(H_k) = 1/3$:

$$P(H_k | D) = \frac{Z_k}{Z_{H_1} + Z_{H_2} + Z_{H_3}}$$

$$P(H_1 | D) = 0.00^{+0.49}_{-0.00}, \quad P(H_2 | D) = 1.00^{+0.00}_{-0.38}, \quad P(H_3 | D) = 0.00^{+0.49}_{-0.00}.$$

Гипотеза Н2 (одиночные ПЧД с логнормальным распределением масс) имеет наибольшую вероятность

Заключение

Был проведен стандартный анализ: рассматривалась вероятность объяснения событий линзирования полученный в данных MACHO, EROS, OGLE с помощью ПЧД в рамках трех гипотез:

Н1 Кластеры ПЧД, массы которых одинаковы;

Н2 Одиночные ПЧД с массовым (логнормальным) распределением;

Н3 Смешанная (кластеры + одиночные ПЧД).

Гипотеза Н2 (одиночные ПЧД с логнормальным распределением масс) имеет наибольшую вероятность

При этом, полученные результаты основаны на распределении только по продолжительности событий. Остается нереализованной возможность оценки вероятности гипотез, использующих сочетание временного распределения и распределению по положению на небе. Ранее был проведен предварительный анализ каждого эффекта по отдельности.